

① 量子状態の証明.

② 量子状態

○ 測定

$$P_0 = |\langle 0|4\rangle|^2$$

$$= \langle 4|0\rangle \langle 0|4\rangle$$

$$= \text{Tr} [|0\rangle\langle 0| |4\rangle\langle 4|]$$

ル-2 (行列の和)
 $\text{Tr}[A] = \sum_i \langle i|A|i\rangle$
 一般に

$$P_a = \text{Tr} [P_a |4\rangle\langle 4|]$$

射影演算子

$$(\sum_a P_a = I, P_a P_b = \delta_{ab} P_a)$$

○ 混合状態

確率 q $|4\rangle$, $1-q$ $|\phi\rangle$

で与えられるとき

$$P_a = q \text{Tr} [P_a |4\rangle\langle 4|] + (1-q) \text{Tr} [P_a |\phi\rangle\langle \phi|]$$

$$= \text{Tr} [P_a (q |4\rangle\langle 4| + (1-q) |\phi\rangle\langle \phi|)]$$

これを状態 ρ とおこう

$$= \text{Tr} [P_a \rho]$$

$$\rho = q |4\rangle\langle 4| + (1-q) |\phi\rangle\langle \phi|$$

密度演算子

$$\rho = |4\rangle\langle 4| \quad \text{純粋状態 (pure state)}$$

○ 混合と重ねあわせの違い

$$\begin{aligned} \rho = |+\rangle\langle +| &\rightarrow P_0 = \text{Tr} [|0\rangle\langle 0| + |\rangle\langle +|] \\ &= \text{Tr} \left[|0\rangle\langle 0| \frac{1}{\sqrt{2}} \langle +| \right] \\ &= \sum_{i=0,1} \langle i| |0\rangle\langle 0| \frac{1}{\sqrt{2}} \langle +| |i\rangle \\ &= \frac{1}{2}, \quad P_1 = \frac{1}{2} \end{aligned}$$

$$P_+ = \text{Tr} [|+\rangle\langle +| + |\rangle\langle +|], \quad P_- = 0, \\ = 1.$$

$$\rho' = \frac{1}{2} |0\rangle\langle 0| + \frac{1}{2} |1\rangle\langle 1| \quad (\text{0と1の古典的混合})$$

$$P'_0 = \frac{1}{2}, \quad P'_1 = \frac{1}{2} \quad (\text{同じ})$$

$$\begin{aligned} P'_+ &= \text{Tr} \left[|+\rangle\langle +| \left(\frac{1}{2} |0\rangle\langle 0| + \frac{1}{2} |1\rangle\langle 1| \right) \right] \\ &= \frac{1}{2} \\ P'_- &= \frac{1}{2} \quad (\text{混合と重ねあわせの違い}). \end{aligned}$$

◦ 密度演算子、

$$\checkmark \rho = \rho^\dagger \quad (\text{エルミート})$$

$$\checkmark \rho \geq 0 \quad (\text{半正定値})$$

$$\left(\forall |4\rangle, \text{Tr} [|4\rangle\langle 4| \rho] \geq 0 \right)$$

(固有値が非負)

$$\checkmark \text{Tr} [\rho] = 1. \quad \left(\sum_a P_a = \sum_a \text{Tr} [P_a \rho] \right. \\ \left. = \text{Tr} [\rho] = 1 \right)$$

◦ 量子操作、

$$|4\rangle \rightarrow \sigma |4\rangle,$$

$$\rho \rightarrow \sigma \rho \sigma^\dagger \quad (2 \rightarrow 1)$$

一般には密度演算子の空間から空間への移り変換の写像 \rightarrow CPTP map

(complete positive trace preserving map)

○ Kraus 表現

$$\mathcal{E}(\rho) = \sum_k E_k \rho E_k^\dagger$$

Kraus 演算子

$$\left(\sum_k E_k^\dagger E_k = I \leftarrow \text{Tr}[\mathcal{E}(\rho)] = \text{Tr}[E_k^\dagger E_k \rho] \right)$$

例) $|0\rangle \rightarrow$ 確率 p で X 作用.

$$(1-p)|0\rangle\langle 0| + p|1\rangle\langle 1|$$

$$\mathcal{E}_X(\rho) = (1-p)\rho + pX\rho X$$

位相反転 [] -

$$\mathcal{E}_Z(\rho) = (1-p)\rho + pZ\rho Z$$

位相反転 [] -

$$\mathcal{E}_{in}(\rho) = (1-p)\rho + p|0\rangle\langle 1|\rho|1\rangle\langle 0|$$

$$+ p|0\rangle\langle 0|\rho|0\rangle\langle 0|$$

確率的な 1/2 位相反転.

0 $\vec{\tau}$ コヒーレンス.



量子系 環境系 (外場のみで、 \vec{r} 状態等).

(例)

$$(\alpha|0\rangle + \beta|1\rangle) \otimes |+\rangle$$

$$\downarrow e^{-i\frac{\theta}{2}Z \otimes Z} = \cos\frac{\theta}{2} I + i\sin\frac{\theta}{2} Z \otimes Z.$$

$$e^{-i\frac{\theta}{2}} \frac{\alpha|00\rangle + \beta|11\rangle}{\sqrt{2}} + e^{i\frac{\theta}{2}} \frac{\alpha|01\rangle + \beta|10\rangle}{\sqrt{2}}$$

インタック"ルあり.

環境のことは何も知らず \rightarrow 測"定して 心"れる

$$\frac{1}{\sqrt{2}} e^{-i\frac{\theta}{2}} \alpha|0\rangle + e^{i\frac{\theta}{2}} \beta|1\rangle$$

or

$$P_0^E = \frac{1}{2}$$

$$\frac{1}{\sqrt{2}} e^{-i\frac{\theta}{2}} \beta|1\rangle + e^{i\frac{\theta}{2}} \alpha|0\rangle$$

$$P_1^E = \frac{1}{2}$$

$$\alpha |0\rangle + \beta |1\rangle$$

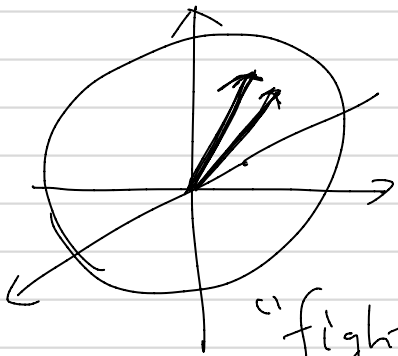
$$\rightarrow |\alpha|^2 |0\rangle\langle 0| + \cos\theta \left(\alpha^* \beta |0\rangle\langle 1| + \alpha \beta^* |1\rangle\langle 0| \right) + |\beta|^2 |1\rangle\langle 1|$$

$$\theta = \frac{\pi}{2} \quad |\alpha|^2 |0\rangle\langle 0| + |\beta|^2 |1\rangle\langle 1|$$

$$\rho = \frac{1+\cos\theta}{2} \rho + \frac{1-\cos\theta}{2} \sigma \rho \sigma$$

取 $\frac{1-\cos\theta}{2} \sigma$, 使得 ρ 起作用。

① 量子誤り訂正 (Shor)



・エラーは連続的

・量子状態のコピーはできない

"fight entanglement with entanglement" by Preskill

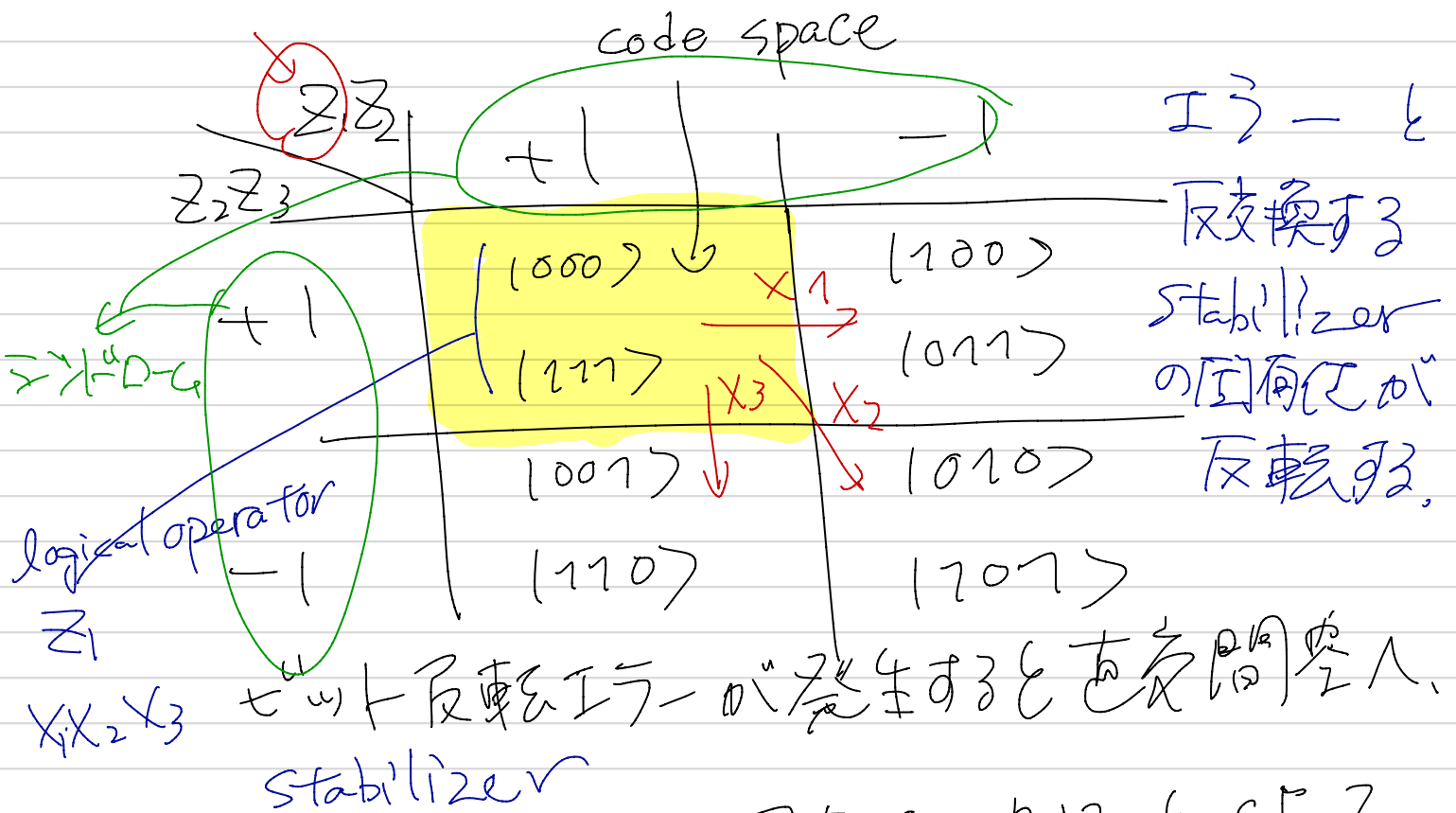
$$\alpha|0\rangle + \beta|1\rangle \rightarrow \alpha|1000\rangle + \beta|1111\rangle$$

$$A_k = I \otimes I \otimes \dots \otimes A \otimes \dots \otimes I$$

1個

$|1000\rangle, |1111\rangle$ を基底とする

2次元部分空間 (空間) に閉じ込める



Z_1, Z_2, Z_3 の固有値を測るとにより、
 量子状態を壊さずにエラーを知る。

① ステートライク形式 (Gottesman)

ステートライク群 \mathcal{S}

- $S_i \in \mathcal{S}$ はパウリ積, $\mathcal{S} \subset \{\pm I, \pm iI\} \times \{I, X, Y, Z\}^{\otimes n}$
- $\forall S_i, S_j \in \mathcal{S}, [S_i, S_j] = 0$. $aI \notin \mathcal{S}$.
- $-I \notin \mathcal{S}$ (固有値は ± 1).

ステートライク状態

$$S_i |\Psi\rangle = |\Psi\rangle \quad \text{for all } i.$$

Σ 固有状態 $|\Psi\rangle$

(例) $\{I, X_1 X_2, Z_1 Z_2, -Y_1 Y_2\} = \langle \{X_1 X_2, Z_1 Z_2\} \rangle$
生成元.

$$\rightarrow (|00\rangle + |11\rangle) / \sqrt{2}$$

5 qubit code.

可換なパリティ演算子の
固有状態として状態定義

$$S_1 = Z X X Z I$$

$$S_2 = I Z X X Z$$

$$S_3 = Z I Z X X$$

$$S_4 = X Z I Z X$$

$$S_i |\Psi\rangle = |\Psi\rangle \text{ for all } i$$

また、2次元の縮退が残る。

$$2^5 / 2^4 = 2 = \text{次元の部分空間}$$

→ logical operator
(縮退を2倍にする)

$$L^Z = Z Z Z Z Z$$

$$L^X = X X X X X$$

ともに $S_1 \sim S_4$ と可換。

$$\rightarrow S_i (L^X |\Psi\rangle) = (L^X |\Psi\rangle)$$

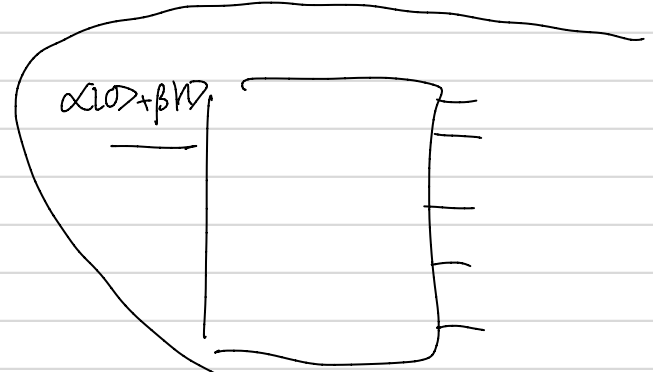
↓
= 異なる subspace \wedge .

$S_1 \sim S_4$ と独立。

$$L_Z |\bar{0}\rangle = |\bar{0}\rangle, L_Z |\bar{1}\rangle = -|\bar{1}\rangle$$

$$L_X L_Z = -L_Z L_X \text{ 故に } L_X |\bar{0}\rangle = |\bar{1}\rangle$$

$$\alpha |\bar{0}\rangle + \beta |\bar{1}\rangle \rightarrow \alpha |\bar{0}\rangle + \beta |\bar{1}\rangle$$



$$\alpha |\bar{0}\rangle + \beta |\bar{1}\rangle$$

holographic
code.

(AdS/CFT)

Pastawski
et al '15

$$|\bar{0}\rangle = \frac{1}{4} \left(|00000\rangle + |10010\rangle + |01001\rangle + |10100\rangle \right. \\
+ |01010\rangle - |11011\rangle - |00110\rangle - |11000\rangle \\
- |11101\rangle - |00011\rangle - |11110\rangle - |01111\rangle \\
\left. - |10001\rangle - |01100\rangle - |10111\rangle + |00101\rangle \right)$$

絶対値を取ると $\sqrt{2}$ になる!!

○ 符号距離 (code distance)

$$d = \min_L \text{wt}(L)$$

logical operator

重み = 1 のビットの数

$$L_X = X^{\otimes 5}$$

$$(101) \text{ wt}(11011) = 2$$

$$= 2$$

$$L_X S_1 = -Y I I Y X$$

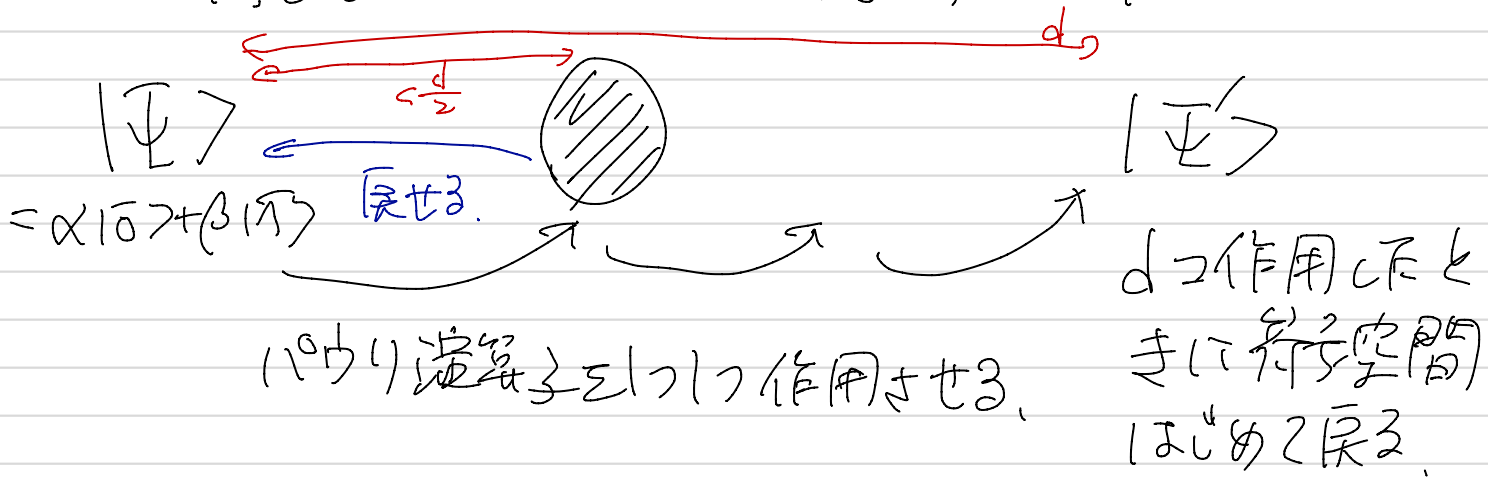
$$\text{wt}(L_X S_1) = 3$$

\hookrightarrow = k-bit logical operator

5 qubit code の code

$$\underline{d = 3}$$

符号距離 = 符号状態間のわり



$d=3 \rightarrow$ 上のことを訂証.

2^5 次元を 2^4 個の直交空間へ分割.

||
16パターンのコード.

各qubitに対応する3種類(X, Y, Z)のI³-

$$3 \times 5 = 15$$

$$15 + 1 = 16$$

I⁵のみ

I³-とコードのみ
に対応.

$S_1 \sim S_4$ の固有値を測り、訂証.

$$X_3 \rightarrow (+1, +1, -1, +1)$$

$$Z_4 \rightarrow (+1, +1, -1, -1)$$

$$(Y_2, Y_3) \rightarrow (+1, +1, -1, -1)$$

確率 P で独立にパウリ
I³-

\rightarrow 失敗確率は
 $\mathcal{O}(P^2)$

① I3- の離散化.

$$\text{量子化} \quad \Sigma(\rho) = \sum_R E_R \rho E_R^\dagger$$

(量子ビット)

パウリ演算子とは限らない.

このまじの話

$$\mathcal{R}(A | \Psi \times \Psi | A) = |\Psi \times \Psi\rangle$$

↑ ↑
A = X, Y, Z
回復操作.

$$\mathcal{R}(\rho) = \sum_R R_L \rho R_L^\dagger \text{ と書ける.}$$

$$R_L A |\Psi\rangle \propto |\Psi\rangle \quad \text{A が満たされている.}$$

$$\textcircled{?} \mathcal{R} \circ \Sigma(\Psi \times \Psi) = ?$$

$$E_R = C_R^I I + C_R^X X + C_R^Y Y + C_R^Z Z$$

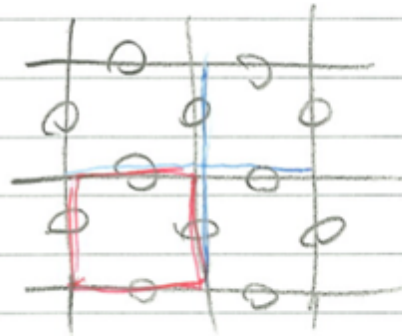
$$R_L E_R |\Psi\rangle \propto |\Psi\rangle$$

$$\mathcal{R} \circ \Sigma(\Psi \times \Psi) \stackrel{\text{線形性.}}{=} \sum_L \sum_R R_L E_R \rho E_R^\dagger R_L = |\Psi \times \Psi\rangle$$

① Kitaev's toric code.
(topological code)



$N \times N$ の正格子



3D上のgauge
の配置
 $\rightarrow 2N^2$

plaquette

$$A_f = \prod_{i \in \partial f} Z_i$$

(面を囲む)

star.

$$B_u = \prod_{j \in \text{star}(u)} X_j$$

(頂点に接続)

符号状態

$\forall f, A_f |\Psi\rangle = |\Psi\rangle, B_u |\Psi\rangle = |\Psi\rangle$

次元 #gauge $|E| = 2N^2$

#generator $|F| + |V| - 2 = 2N^2 - 2$

$$\dim = 2^{2N^2} / 2^{(2N^2-2)} = 2^2 = 4 \quad \prod_f A_f = \prod_u B_u = I$$

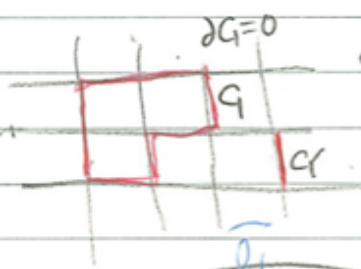
一般の平面では $|V| + |F| - |E| = 2 - 2g$

$$|E| - (|V| + |F| - 2) = 2g \quad \leftarrow \text{genus}$$

$$\dim = 2^{2g}$$

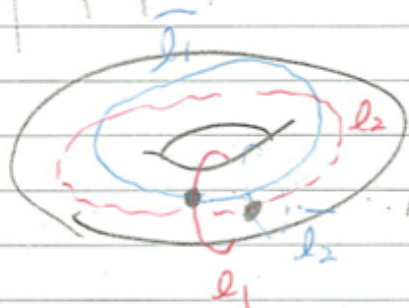
◦ logical operator

◦ Stabilizer と π 交換 \rightarrow cycle ∂C_1



◦ Stabilizer と π 交換 \rightarrow nontrivial cycle.

(trivial cycle $Z(\partial C_2) = \prod_{f \in C_2} A_f$)



$$L_1^Z = Z(L_1), \quad L_2^Z = Z(L_2)$$

交換 \downarrow
 $L_1^X = X(L_1), \quad L_2^X = Z(L_2)$

code distance $\rightarrow N$.

$$l_1 \sim l_1', \quad \exists C_2 \text{ s.t. } l_1' = l_1 + \partial C_2 \sim l_1$$

$Z(L_1)$ と $Z(L_2)$ が非同位 (非同位)

logical operator の作用

$$H = \text{Ker}(\partial_1) / \text{Im}(\partial_2) \quad \text{homology class.}$$

\uparrow stabilizer と π 交換 \uparrow stabilizer group

logical operator の topology と π 交換

chain complex.

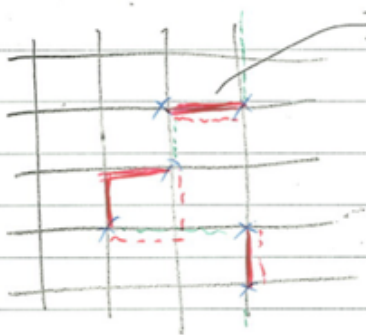
$$B_0 = \{h_i\} \quad B_1 = \{e_j\} \quad B_2 = \{f_k\}$$

$$C_0 = \sum_i z_i h_i, \quad C_1 = \sum_j z_j e_j, \quad C_2 = \sum_k z_k f_k$$

boundary map (準同型) $\partial_i : C_i \rightarrow C_{i-1}$ s.t. $\partial \circ \partial = 0$.

$$h_i = \text{Ker}(\partial_i) / \text{Im}(\partial_{i+1})$$

◦エラー検出と訂正.



error chain C^e , Z error $Z(C^e)$

→ 端点上の star operator と反交換

$$u \in \partial C^e \rightarrow B_u \text{ の固有値 } (-1)$$

∂C^e が C^e の推定.



OK

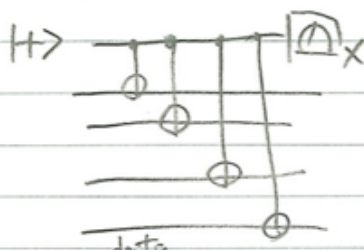


logical error.

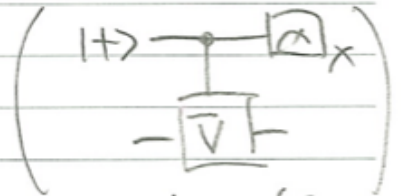
シフト- C . $\arg \max_{C^r} \text{Prob}(Z(C^r)) |_{\partial C^r = \partial C^e}$

→ 独立なエラーの場合, 最短路で端点を結ぶ
minimum-weight-perfect-matching

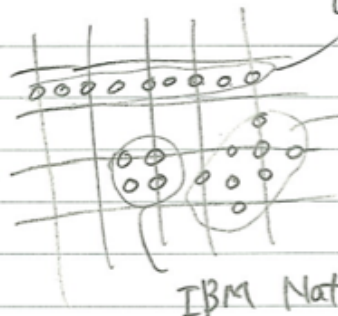
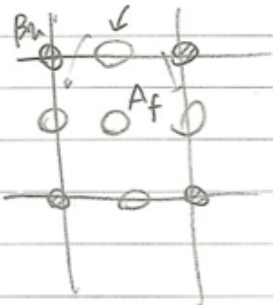
A_f と B_u の測定.



B_u の測定
(A_f の同時)



Martin's Nature '15.
UCSB,



IBM?
(arXiv:1510.04325)

IBM Nat. Comm '15

"quantum computer guess"

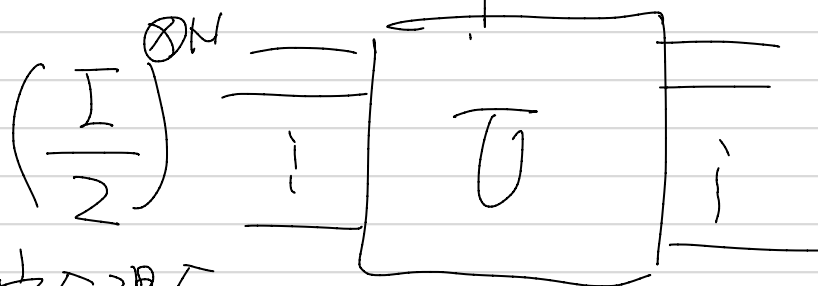
Nature 516, 24-26
(2014)

量子スプレッド

ユニバーサルではないうが、実験的に実現はやく、古典ではシミュレートできない \mathbb{R}^N (intermediate model)

計算機科学の秩序が明確
 しない限り \mathbb{R}^N シミュレートできない。

- Bosonsampling (Linear optics)
- IQP (可換量子回路)
- DQC1 (NMR \mathbb{R}^N シミュレーション)



完全混合
状態

$$\rightarrow p_0 = \frac{1 + \text{Re}[\text{Tr}[U]]}{2}$$